

УДК 530.1

Е.Н.Ватченко, А.И.Деревянко, Н.В.Лысая

## УПРАВЛЕНИЕ ХАОТИЧЕСКИМ РЕЖИМОМ ОДНОМЕРНЫХ УНИМОДАЛЬНЫХ ОТОБРАЖЕНИЙ

**Введение.** Интерес к фрактальным наноразмерным пленкам связан с их физическими свойствами, которые существенно отличаются для твердых тел с кристаллической или аморфной структурой. Для получения их традиционно используется метод CVD (химическое парофазное осаждение вещества) в котором исходное вещество испаряется в отдельной камере, переносится через газовую среду и осаждается на подложку [1].

**Постановка задачи.** Целью данной работы является построение алгоритмов оптимального управления хаотическим режимом логистического уравнения [2] и их сравнительный анализ для решения задачи подавления хаотических колебаний при осаждении наноматериалов по CVD-технологии из газовой фазы.

**Математическая модель роста при осаждении.** Дифференциальное уравнение, описывающее динамику роста наночастиц в пленке осадка, имеет вид

$$\frac{dN(t)}{dt} = rN(t) \frac{1 - N(t)}{K}, \quad (1)$$

где  $N(t)$  количество наночастиц в пленке в момент времени  $t$ ,  $r$  – темп роста,  $K$  – предельный коэффициент роста. Следует отметить, что существенное влияние на свойства наноразмерных пленок оказывает тонкая структура формирующих их кластерных образований [3].



a)  $D=1.546, \chi=0.05$       б)  $D=1.617, \chi=0.20$       в)  $D=1.638, \chi=0.40$

Рисунок 1 - Влияние коэффициента диффузии на фрактальную размерность нанокластеров

Аналитическое решение уравнения (1) имеет вид

$$N(t) = \frac{e^{\frac{rt}{K}} N(0)}{1 + (e^{\frac{rt}{K}} - 1) N(0)/K} \quad (2)$$

и стремится к  $K$  при  $t \gg 1/r$ . Это значит, что уравнение (1) теряет свое начальное значение  $N(0)$  и будущее значение  $N(t)$  определяется параметром  $K$ .

Рассмотрим дискретный вариант уравнения (1), введя замены  $x(n)=N(t)/(1+1/r)$  и  $a=1+r$ , получим логистическое уравнение (отображение)

$$x(n+1) = ax(n)(1-x(n)), \quad (3)$$

где  $a \in [0,4]$  и  $x(n) \in [0,1]$ . Неподвижные точки  $x(n+1)=x(n)$  отображения (3) при изменении параметра  $a$  образуют последовательность бифуркаций удвоения периода, формирующих сценарий перехода в хаотический режим [4]. Выражение (3) представляет собой рекурсивное отображение, определяющее текущее значение элемента временного ряда по значению предыдущего. Для граничного значения  $a=4$  в отображении (3) устанавливается хаотический режим. Значение критерия устойчивости для неподвижной точки  $x_{02}=0.75$

$$\left| \frac{dx(n+1)}{dx} \right| = |a - 2ax_{02}| = |-2| \geq 1 \quad (4)$$

характеризует ее как неустойчивую.

Инкрустивное отображение определяет текущее значение временного ряда по значениям предыдущему и прогнозу текущего имеет вид

$$x(n+1) = ax(n)(1-x(n+1)) \quad (5)$$

Выражение (5) можно преобразовать к рекурсивному виду, воспользовавшись определением суммы элементов бесконечной геометрической прогрессии

$$x(n+1) = \frac{ax(n)}{1+ax(n)} \quad (6)$$

Неподвижные точки отображения (6), равные  $x_{01}=0$  и  $x_{02}=(a-1)/a$ , устойчивы при  $|a| < 1$  и  $a > 1$ , соответственно. Решение нелинейного уравнения (6) имеет вид

$$x(n) = \frac{\left(\frac{a-1}{a}\right)Ca^n}{1+Ca^n}, \quad (7)$$

где

$$x(0) = \frac{\frac{a-1}{a}C}{1+C} \quad (8)$$

и  $x(0)$  – первый элемент временного ряда.

Произведя замену  $e$  на  $a$  в выражении (2), сравним выражения (2) и (7), учитывая (8). Совпадение решений для уравнений (3) и (6)

дает возможность использовать отношение (6) для определения стабилизирующего управления.

Рассмотрим два варианта оптимального

$$\frac{dJ}{dU} = 0 \quad (9)$$

стабилизирующего управления

$$1. J = (x(n+1) - x(n))^2 + \omega U^2(n) \quad (10)$$

$$x(n+1) = ax(n)(1-x(n)) + U(n) \quad (11)$$

$$2. J = (x(n+1) - x_{inc}(n+1))^2 \quad (12)$$

$$x(n+1) = ax(n)(1-x(n)) + U(n) \quad (13)$$

$$x_{inc}(n+1) = \frac{ax(n)}{1+ax(n)} \quad (14)$$

Оптимальное управляющее воздействие, стабилизирующее хаотический режим логистического уравнения (3) для случаев (10) и (12) имеет вид

$$1. U(n) = \frac{x(n) - ax(n)(1-x(n))}{1+\omega} \quad (15)$$

$$2. U(n) = ax(n) \frac{x(n) - ax(n)(1-x(n))}{1+ax(n)} \quad (16)$$

Для сравнительной оценки стабилизирующих управляющих воздействий (15) и (16) рассмотрим логистическое уравнение (3) при значении параметра  $a=4$ , определяющих хаотический режим (3).

Рассмотрим стабилизирующее управление (10), (15). В этом случае неподвижные точки  $x_{01}=0$  и  $x_{02}=0.75$  совпадают со значениями неподвижных точек нестабилизированного ( $U(n)=0$ ) логистического уравнения (3). Тогда значение критерия устойчивости для неподвижной точки  $x_{02}=0.75$  будет

$$\left| \frac{4\omega - 8\omega x_{02}}{1+\omega} \right| = \left| \frac{2\omega}{1+\omega} \right| \leq 1, \quad (17)$$

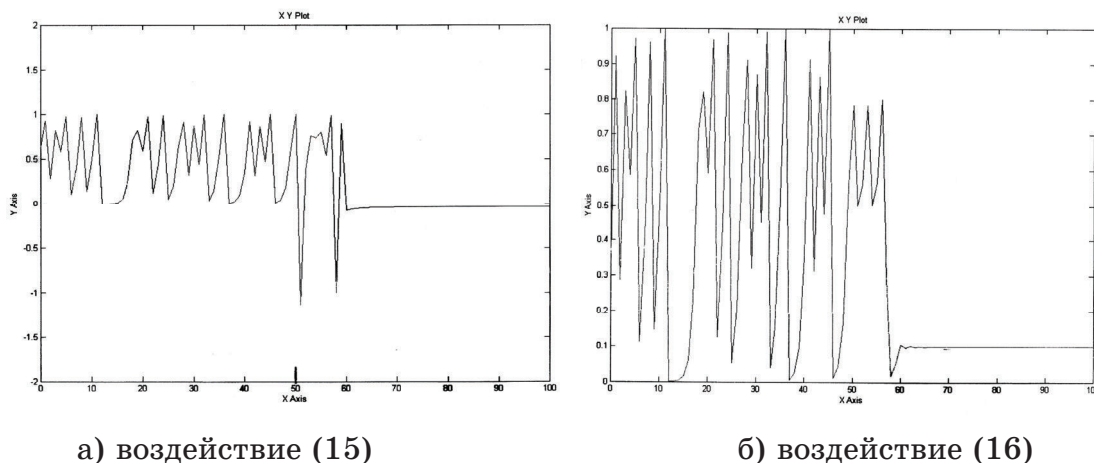
т.е. при  $0 < \omega < 1$  решение  $x_{02}$  уравнения (11) устойчиво.

Рассмотрим стабилизирующее управление (12), (16). В этом случае неподвижные точки  $x_{01}=0$  и  $x_{02}=0.75$  совпадают со значениями неподвижных точек нестабилизированного ( $U(n)=0$ ) логистического уравнения (3). Значение критерия устойчивости для неподвижной точки  $x_{02}=0.75$  будет

$$\left| \frac{a}{(1+ax_{02})^2} \right| = \left| \frac{1}{4} \right| < 1 \quad (18)$$

т.е. решение  $x_{02}$  уравнения (13) устойчиво.

Результаты численных экспериментов по стабилизации (подавлению) хаотических колебаний в решении уравнения (3) приведены на рисунке 2, где включение соответствующего управления производилось на 50 шаге.



а) воздействие (15)

б) воздействие (16)

Рисунок 2 - Подавление хаотических колебаний управляемыми воздействиями  $U$

**Выводы.** Результаты компьютерного эксперимента показали, что для управляемого воздействия (15) затухание (длительность переходного процесса) зависит от значения коэффициента  $\omega$  ( $0 < \omega < 1$ ), который является величиной постоянной для действующего закона управления.

Управляющее воздействие (16) может быть получено из (15) заменой  $\omega = 1/ax(n)$ . Таким образом, для управления (16) затухание определяется текущим значением управляемой переменной. Это объясняет меньшую длительность переходного процесса для управления (16).

## ЛИТЕРАТУРА

- Суздалев И.П. Нанотехнология: физико-химия нанокластеров,nanoструктур и наноматериалов. М.: Наука, 2006. - 592 с.
- Schuster H., Just W. Deterministic Chaos. – Verlag, 2005. – 283р.
- Деревянко А.И., Михалев А.И. Моделирование динамики геометрического фазового перехода. Системні технології, Міжвузівський збірник наукових праць. 3(44), 2006, с. 27-31.
- Шарковский А.Н., Коляда С.Ф., Сивак А.Г., Федоренко В.В. Динамика одномерных отображений. К.: Наукова думка, 1989. - 216 с. Тишер Ф. Техника измерений на сверхвысоких частотах. – М.: Физматлит, 1963. – 364 с.

Получено 21.11.07 г.